

簡易な測定器具による轉位平歯車の實用解析

新 井 敏 正

1. 緒 言

普通の轉位齒車は、その殆ど全部が標準カツタ（主としてホブ）を用いたもので、特殊のカツタを使用したものは極めてまれである。ところが一般に轉位齒車の解析といえば、この極めてまれな場合にも適用される如く行われるので、解析の嚴密なかわりに、精密な測定器具を必要とし、磨耗した齒形に適用できず、しかも冗長なきらいがある。

これはホブ盤をもつ某鉄工所に工作を依頼するために、石川島製10トンクレーンの減速齒車の解析を某セメント工場より依頼され、あわせて同工場でも容易に実施できるような解析方法の指導を求められたのに対する解答であるが、他の諸工場でも同様な必要があるかと思ひ、発表することにした。

2. 解析 條 件

- i. 測定器具はノギスのみとする。さらに諸種の函数表は持たなくともよい。
- ii. 解析される齒車は、齒先修正を行わざる標準カツタで切つた左右對稱のインポリユート齒形とする。但し齒形の片面のみは磨耗していても差支えない。
- iii. 齒切工作は標準ホブで行う。

3. 近 似 式

i. α の近似式

今 B_v が与えられると

$$\cos \alpha = \frac{\cos \alpha_H}{1 + B_v}$$

$$\sin \alpha = \sqrt{1 - \cos^2 \alpha} \quad (\text{又は三角函数表より})$$

が直ちに分るから

$$\alpha_{deg} = \frac{180}{\pi} \frac{\sin \alpha}{0.665 + 0.335 \cos \alpha} \quad (1)$$

$0^\circ \sim 28^\circ$ で誤差 $13''$ 以下

$$\alpha_{deg} = \frac{180}{\pi} \left\{ \frac{\sin \alpha}{0.665 + 0.335 \cos \alpha} + \frac{(\sin \alpha - 0.4)^3}{21} \right\} \quad (2)$$

$28^\circ \sim 45^\circ$ で誤差 $13''$ 以下

α_{deg} が $45^\circ \sim 90^\circ$ では $\sin \alpha$ と $\cos \alpha$ とを交換し

て上記の計算から餘角を求め、これを 90° から引けばよいから、上式は $\sin \alpha$ 又は $\cos \alpha$ を知つて α を求める一般式として便利なものである。

ii. Bの近似式

B_v から B を求める近似式には、DIN 所載のもの及び中田博士の求められたものがあり、式は極めて簡単であるが最大誤差がやゝ大きいように思われるので、式はやゝ面倒であるが実用上十二分の精度をもつ式を作つた。

$\alpha_H = 14.5'$ のとき

$$B = \{1 + (9.876 - 10 \sin \alpha) B_v\} B_v \quad (3)$$

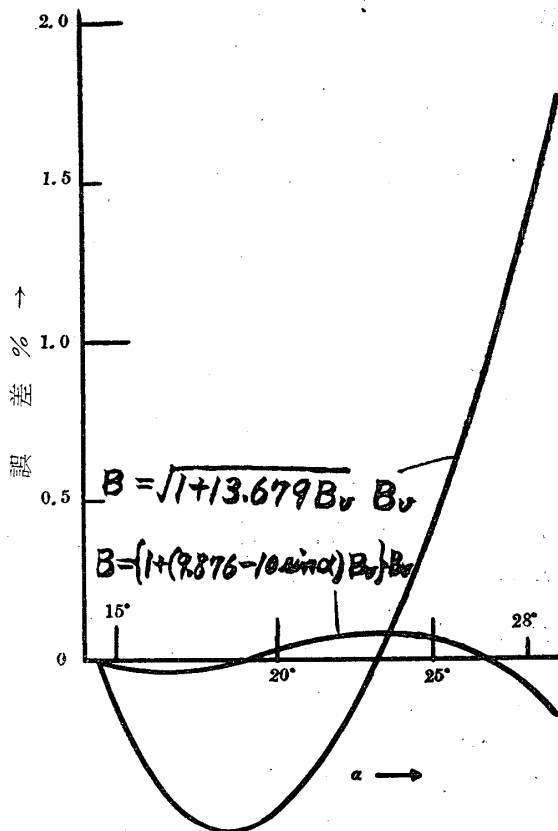
$14.5^\circ \sim 28^\circ$ で誤差 0.11% 以下

$\alpha_H = 20'$ のとき

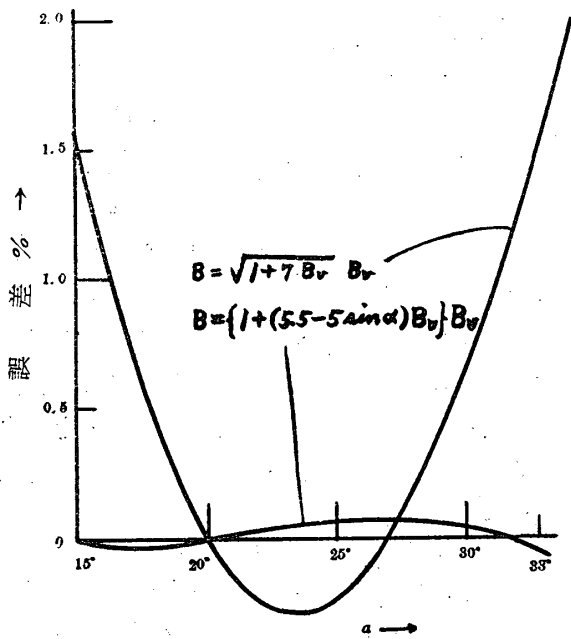
$$B = \{1 + (5.5 - 5 \sin \alpha) B_v\} B_v \quad (4)$$

$15^\circ \sim 33^\circ$ で誤差 0.07% 以下

上記二式の誤差を中田博士及び DIN の式とあわせて Fig 1 及び 2 に示す。



第 1 図

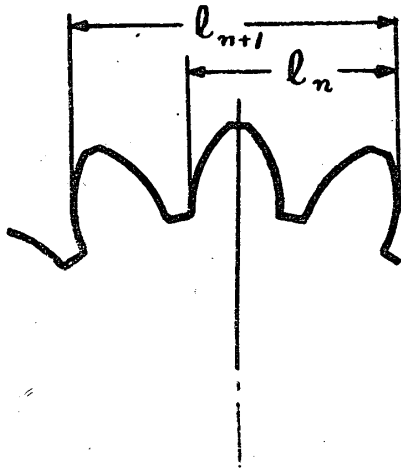


第2図

4. 解析

i. 歯底円転位係数

解析される歯車の頂隙を基準通り 0.157M と
して歯底用の転位係数を求めてみる。



第3図

ノギスで Fig 3 の l_{n+1} l_n を測れば基円モジュール M_n は

$$M_n = \frac{l_{n+1} - l_n}{\pi} \quad (5)$$

そこで

$$M = M_n / \cos \alpha_H$$

$$DP = 25.40 \cos \alpha_H / M_n \quad (6)$$

の α_H に 14.5° 及び 20° を代入して、これから求められた M 又は DP が規格にあるものをもつて

カタと定める。この場合、測定誤差のやゝ大きいことと標準カタの制限との理由で M 又は DP に多少の端数があつても規格通りの値に修正する。

実測した歯底円半径を R_{d1} , R_{d2} とすれば両車の歯底円転位係数 x'_1 , x'_2 は

$$\left. \begin{aligned} x'_1 &= \frac{R_{d1}}{M} + 1.157 - \frac{z_1}{2} \\ x'_2 &= \frac{R_{d2}}{M} + 1.157 - \frac{z_2}{2} \end{aligned} \right\} (7)$$

ii. 理論転位係数

歯車の実際中心距離 A と標準歯車としての中心距離 A_0 とが分ると、両車に与うべき転位係数の和 $x''_1 + x''_2$ が計算によつて求められる。

A は普通組立図に明記してあるから、それをそのままとるのが一番無難である。もし測り直す必要がある場合には、その測定誤差の $1/2 \sim 1$ 倍が背隙の誤差として利いてくるから、そのつもりで測定せねばならぬ。

A_0 は次式によつて計算される。

$$A_0 = \frac{z_1 + z_2}{2} M \quad (8)$$

しかるときは

$$B_v = \frac{A - A_0}{A} \quad (9)$$

から $\alpha - B - B_v$ 函数表又は前述の近似式によつて α 及び B が決定する。

そこで理論上両車に与うべき転位係数を x''_1 及び x''_2 とすれば

$$x''_1 + x''_2 = \frac{z_1 + z_2}{2} B - \frac{S_n}{2M \sin \alpha_H} \quad (10)$$

なる和の形で求められる。

S_n は歯直角背隙で

$$S_n = \frac{2(M+2)}{100} \sim \frac{4(M+2)}{100} \text{ mm} \quad (11)$$

にとればよい。

iii. 実際転位係数の決定。

実際転位係数を x_1 x_2 とすれば

a. 解析される歯形が正しい標準カタ (頂隙誤差なし) で切られ測定誤差が全然なければ $x_1 - x'_1 = x_2 - x'_2 = 0$

b. 誤差が頂隙にもとずくときは

$$x_1 - x'_1 = x_2 - x'_2 \neq 0$$

c. 誤差が測定修正にもとずくときは

$$\left. \begin{aligned} x_1 - x'_1 &= x_2 - x'_2 \\ \text{従つて} \quad x_1 - x_2 &= x'_1 - x'_2 \\ \text{又理論上} \quad x_1 + x_2 &= x''_1 + x''_2 \end{aligned} \right\}$$

$$\left. \begin{aligned} x_1 &= \frac{1}{2} \{ (x''_1 + x''_2) + (x'_1 - x'_2) \} \\ x_2 &= \frac{1}{2} \{ (x''_1 + x''_2) + (x'_2 - x'_1) \} \end{aligned} \right\} \quad (12)$$

が求める実際の転位係数である。

今13式の和を作ればもちろん $x_1 + x_2 = x''_1 + x''_2$ となるから測定解析の精粗にかゝわらず、かくして切られる転位歯車は正しく嚙合つて円滑にまわることは明らかである。

この場合Mの計算値修正程度と $x_1 - x'_1$ の値とをしらべることによつて解析の適否を推知することができる。

iv. 工作諸元

標準歯車としての切込量、両車の外径を H 、 D_{10} D_{20} とし、転位歯車の切込量、両車の外径を H 、 D_1 D_2 とすれば

$$\left. \begin{aligned} H &= H_0 + (A - A_0) - (x_1 + x_2)M \\ D_1 &= D_{10} + 2(A - A_0) - 2x_2M \\ D_2 &= D_{20} + 2(A - A_0) - 2x_1M \end{aligned} \right\} \quad (13)$$

ただし $H > H_0$ なるときは H_0 の値を使う。

5. 應用例

筆者がノギスだけで実際に解析した一例を次に示す。ただし、中心距離と歯底円径とは会社にデータの持合せがあつたのでそれをそのまま利用した。

P 歯車の歯数17枚 Q 歯車の歯数52枚。

その l_{n+1} 及び l_n を測定すれば

(P)

l_3	l_2	$l_3 - l_2$	平均
79.68	49.24	30.44	30.41
79.66	49.26	30.40	
79.68	49.28	30.40	

(Q)

l_6	l_5	$l_6 - l_5$	平均
172.30	141.86	30.44	30.45
172.32	141.86	30.46	
172.30	141.86	30.44	

$$l_{n+1} - l_n = (30.41 + 30.45) / 2 = 30.43 \text{mm}$$

$$(5) \text{ 式より}$$

$$M_n = \frac{l_{n+1} - l_n}{\pi} = \frac{30.43}{\pi} = 9.69 \text{mm}$$

$$\cos 14.5^\circ = 0.96815 \quad \cos 20^\circ = 0.93969$$

$$(6) \text{ 式より}$$

$$M = \frac{M_n}{\cos 14.5^\circ} = \frac{9.69}{0.96815} = 10.01 \text{mm}$$

$$M = \frac{M_n}{\cos 20^\circ} = \frac{9.69}{0.93969} = 10.31 \text{mm}$$

$$DP = 25.40 \cos 14.5^\circ / M_n = 2.54$$

$$DP = 25.40 \cos 20^\circ / M_n = 2.46$$

よつて $a_H = 14.5^\circ$ $M = 10 \text{mm}$ と決定。

$$\Delta M = 10.01 - 10.00 = 0.01 \text{mm}$$

データより

$$R_{d1} = 78.84 \text{mm} \quad R_{d2} = 253.09 \text{mm}$$

(7) 式より

$$x'_1 = \frac{R_{d1}}{M} + 1.157 - \frac{z_1}{2} = 7.884 + 1.157 - 8.500 = 0.541$$

$$x'_2 = \frac{R_{d2}}{M} + 1.157 - \frac{z_2}{2} = 25.309 + 1.157 - 26.000 = 0.466$$

$$x'_1 - x'_2 = 0.541 - 0.466 = 0.075$$

データ及び (8) 式より

$$A = 353.85 \text{mm}$$

$$A_0 = \frac{z_1 + z_2}{2} M = \frac{17 + 52}{2} \times 10 = 345.00 \text{mm}$$

(9) 式より

$$B_v = \frac{A - A_0}{A} = \frac{353.85 - 345.00}{345.00} = 0.02565$$

(1) (3) 式又は $\alpha - B - B_v$ 函数表より

$$\alpha = 19.28^\circ$$

$$B = 0.03000$$

(11) 式より

$$S_n = \frac{2(M+2)}{100} = \frac{2(10+2)}{100} = 0.24 \text{mm}$$

(10) 式より

$$x''_1 + x''_2 = \frac{z_1 + z_2}{2} B - \frac{S_n}{2M \sin \alpha_H} = 34.500 \times 0.03000 - \frac{0.24}{2 \times 10 \times 0.2504} = 0.987$$

(12) 式より

$$x_1 = \frac{1}{2} \{ (x''_1 + x''_2) + (x'_1 - x'_2) \}$$

$$= \frac{1}{2} \{ 0.987 + 0.075 \} = 0.541$$

$$x_2 = \frac{1}{2} \{ (x''_1 + x''_2) + (x'_2 - x'_1) \}$$

$$= \frac{1}{2} \{ 0.987 - 0.075 \} = 0.456$$

$$\Delta x_1 = x_1 - x'_1 = 0.531 - 0.541 = -0.010$$

ΔM と Δx_1 とから、この解析が比較的よく行われていることを知る。

(13) 式より

$$H = H_0 + (A - A_0) - (x_1 + x_2)M$$

$$= 21.57 + 8.85 - 9.87 = 20.55 \text{ mm}$$

$$D_1 = D_{10} + 2(A - A_0) - 2x_2M = 190 + 2 \times 8.85 - 2 \times 0.456 \times 10 = 198.58 \text{ mm}$$

$$D_2 = D_{20} + 2(A - A_0) - 2x_1M = 540 + 2 \times 8.85 - 2 \times 0.531 \times 10 = 547.08 \text{ mm}$$

6. 結 語

標準カッタで切つた転位歯車ならば、この方

法をもつて完全に解析することができる。

規格外カッタで切つた転位歯車にして両車とも同一カッタで切つたものならば、標準カッタによる転位歯車の中これに最も近いものを算定することになる。これは一見不都合のようであるが、実はその次に来る工作の問題まで考えればかえつて都合がよいことが分る。しかもその近似度は ΔM 及び Δx_1 の値から推察することができる。

規格外カッタで切つた転位歯車にして両車別々のカッタで切つたもの、及び切線転位を施した転位歯車は、この方法では解析できない。従つてこの場合には別の方法で解析を行い、しかもその工作にはカッタも特別に製作せねばならぬ。

しかしながらかかる場合は極めて稀であるから一般には上記の方法で十分であろう。

※ 昭和26年11月日本機械学会長崎臨時総会において講演せるものゝ一部。

Quadrik Crank Chainに関する一考察

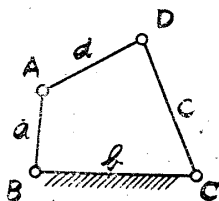
新 井 敏 正

1. 緒 言

Quadric Crank Chainの1 linkを固定した機構において、ある linkがcrankかleverかを調べる条件は、すべての機構学の教科書に書いてはあるが、その次に出てくる連鎖の交替の説明との関連に重点を置き過ぎた結果、正しい条件を示していないものが多いようである。そこでこの条件を明確に求め、これから直接わかる二三の事柄を考察したい。

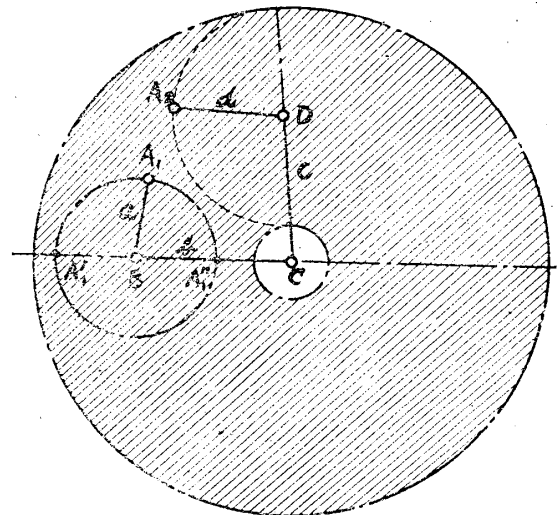
2. Crankの条件

第1図においてaがcrankとなる条件を求めて見る。第2図の如くA点のピンを外してaの



第1図

先端を A_1 、dの先端を A_2 とすれば、 A_2 は $c+d$ なる半径の円と $|c-d|$ なる半径の円とで挟まれたring状のハッチング部分だけ動けるから、 A_1 の軌跡なる円が



第2図

全部このハッチング内に入ればaはcrankで、はみ出せばleverとなる。

A_1 がハッチング内に入る条件は

$$a + b < c + d \tag{1}$$